

CONCOURS COMMUN 2002

DES ÉCOLES DES MINES D'ALBI, ALES, DOUAI, NANTES

Épreuve spécifique de Sciences Industrielles

(filière PCSI, option PSI)

Mercredi 22 mai 2002 de 8h00 à 12h00

DOCUMENT RÉPONSE

Instructions générales

Attention – Vous devez impérativement inscrire votre code candidat sur chaque page du DOCUMENT RÉPONSE. En fin d'épreuve, vous aurez à rendre une feuille de composition sur laquelle vous aurez collé l'étiquette correspondante et dans laquelle vous aurez inséré vos documents réponses, même vierges.

Instructions particulières

Les 5 parties sont indépendantes.

Temps approximatif à prévoir par partie :

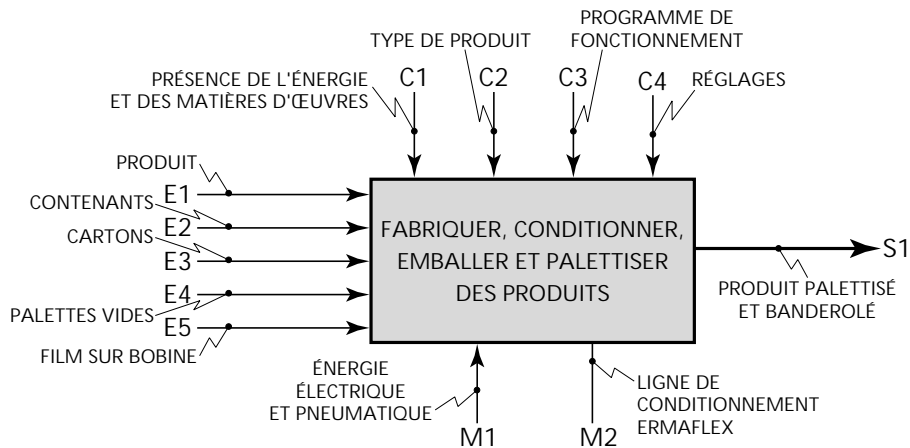
- lecture du sujet20 minutes
- partie A10 minutes
- partie B30 minutes
- partie C40 minutes
- partie D1 heure 20 minutes
- partie E1 heure

AUCUN DOCUMENT N'EST AUTORISÉ

--	--	--	--	--

A. Mise en situation, constitution et caractéristiques

■ A.1. Diagramme SADT de niveau A-0 de la ligne de conditionnement ERMAFLEX



B. Approche fonctionnelle et structurale de la banderoleuse

■ B.1. Mise en évidence de la boucle d'asservissement de déroulement du film

Voir le diagramme de la page suivante.

■ B.2. Nature des informations I1 à I7

Repère de l'information	Nature de l'information	
	logique (binaire)	analogique
I1		✓
I2		✓
I3	✓	
I4	✓	
I5	✓	
I6	✓	
I7	✓	

■ B.3. Justification de l'utilisation de la cellule de détection du haut du produit palettisé

La hauteur des produits palettisés pouvant varier (720 à 760 mm), il est nécessaire de détecter à l'aide de la cellule l'endroit précis où le chariot doit s'arrêter afin que le banderolage ne s'effectue pas dans le vide. Par contre, en cas de non fonctionnement de cette cellule, il faut limiter la course du chariot vers le haut, ce qui est réalisé grâce au détecteur de fin de course haut. La cellule ne fait donc pas double usage avec le capteur de fin de course.

■ **D.3.2. Torseur cinématique $\{\mathcal{V}_{1/0}\}_S$, $\vec{x}_1, \vec{y}_1, \vec{z}_1$ du solide (1) par rapport au solide (0) en S**

Par définition, $\{\mathcal{V}_{1/0}\}_S = \left\{ \begin{array}{l} \vec{\Omega}_{1/0} \\ \vec{V}_{S,1/0} \end{array} \right\}_S$

avec $\vec{V}_{S,1/0} = \vec{V}_{O,1/0} + \vec{\Omega}_{1/0} \wedge \vec{OS}$
 $= \vec{0} + \dot{\theta} \vec{z}_0 \wedge \frac{\sqrt{a^2 + b^2}}{2} \vec{x}_1$
 $= \dot{\theta} \frac{\sqrt{a^2 + b^2}}{2} \vec{y}_1$

d'où $\{\mathcal{V}_{1/0}\}_S = \left\{ \begin{array}{l} \vec{\Omega}_{1/0} = \dot{\theta} \vec{z}_0 \\ \vec{V}_{S,1/0} = \dot{\theta} \frac{\sqrt{a^2 + b^2}}{2} \vec{y}_1 \end{array} \right\}_{S, R_1}$

■ **D.3.3. Condition de non glissement en S de (3) par rapport à (1)**

Cette condition se traduit par $\vec{V}_{S,3/1} = \vec{0}$

La composition des mouvements en S entre 0, 1 et 3 donne $\vec{V}_{S,3/0} = \vec{V}_{S,3/1} + \vec{V}_{S,1/0}$

soit $\vec{V}_{S,3/0} = \vec{V}_{S,1/0}$ et $\vec{V}_{S,3/0} = \dot{\theta} \frac{\sqrt{a^2 + b^2}}{2} \vec{y}_1$

■ **D.3.4. Vitesse de défilement du film $v_d = \vec{V}_{S,3/0} \cdot \vec{x}_2$ en fonction de a, b, θ, β et $\dot{\theta}$**

$v_d = \vec{V}_{S,3/0} \cdot \vec{x}_2$
 $= \dot{\theta} \frac{\sqrt{a^2 + b^2}}{2} \vec{y}_1 \cdot \vec{x}_2$

Or $\vec{y}_1 \cdot \vec{x}_2 = \|\vec{y}_1\| \|\vec{x}_2\| \cos\left(-\frac{\pi}{2} - \theta + \beta\right)$
 $= -\sin(\theta - \beta)$

En définitive, $v_d = -\dot{\theta} \frac{\sqrt{a^2 + b^2}}{2} \sin(\theta - \beta)$

■ **D.3.5. Valeur de la tangente de l'angle β en fonction de a, b, c et θ**

Écrivons la fermeture géométrique de chaîne entre les solides 0, 1 et 3 :

$$\vec{OA} + \vec{AS} + \vec{SO} = \vec{0}$$

$$c \vec{x}_0 - \lambda \vec{x}_2 - \frac{\sqrt{a^2 + b^2}}{2} \vec{x}_1 = \vec{0}$$

En projetant sur le repère R_O , on obtient :

$$c \vec{x}_0 - \lambda (\cos(\beta) \vec{x}_0 + \sin(\beta) \vec{y}_0) - \frac{\sqrt{a^2 + b^2}}{2} (\cos(\theta) \vec{x}_0 + \sin(\theta) \vec{y}_0) = \vec{0}$$

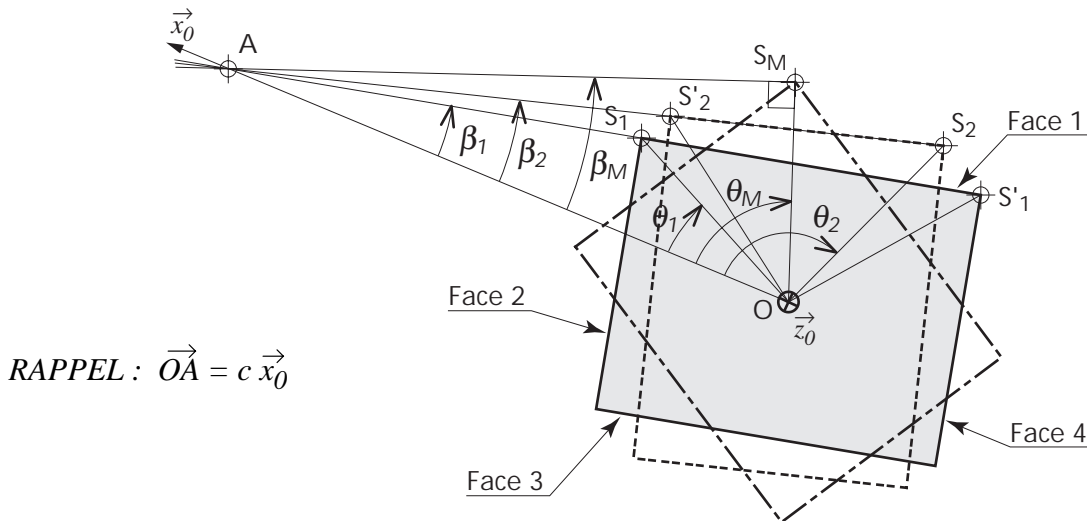
Ce qui donne

$$\begin{cases} c - \lambda \cos(\beta) - \frac{\sqrt{a^2 + b^2}}{2} \cos(\theta) = 0 & \Rightarrow \lambda \cos(\beta) = c - \frac{\sqrt{a^2 + b^2}}{2} \cos(\theta) \\ -\lambda \sin(\beta) - \frac{\sqrt{a^2 + b^2}}{2} \sin(\theta) = 0 & \Rightarrow \lambda \sin(\beta) = -\frac{\sqrt{a^2 + b^2}}{2} \sin(\theta) \end{cases}$$

En faisant le quotient des deux quantités, on trouve

$$\tan(\beta) = -\frac{\sqrt{a^2 + b^2} \sin(\theta)}{2c - \sqrt{a^2 + b^2} \cos(\theta)}$$

■ **D.3.6. Justification et expression de β_1, β_2 et β_M , valeurs numériques (en degré)**



RAPPEL : $\vec{OA} = c \vec{x}_0$

L'angle β_1 correspond à l'angle que fait le film lorsqu'il est aligné avec le grand côté de la palette.

$$\sin(\beta_1) = -\frac{a}{c} = -\frac{a}{2c} = -0,15 \quad \Rightarrow \quad \boxed{\beta_1 = -8,62^\circ}$$

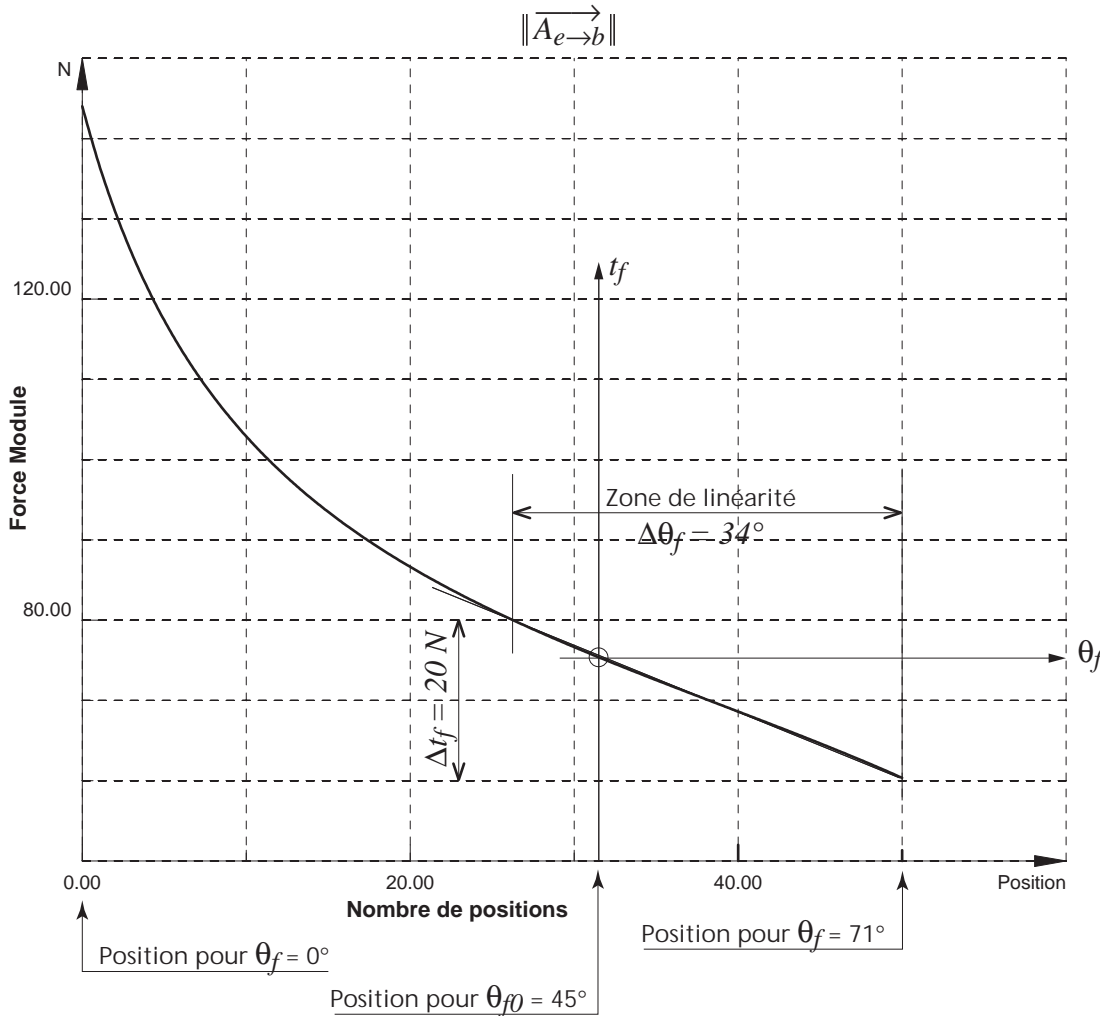
L'angle β_2 correspond à l'angle que fait le film lorsqu'il est aligné avec le petit côté de la palette.

$$\sin(\beta_2) = -\frac{b}{c} = -0,2 \quad \Rightarrow \quad \boxed{\beta_2 = -11,54^\circ}$$

L'angle β_M correspond à l'angle maximal que peut faire le film lorsque le point S est le plus éloigné du point O.

$$\sin(\beta_M) = -\frac{\sqrt{a^2 + b^2}}{2c} = -0,25 \quad \Rightarrow \quad \boxed{\beta_M = -14,48^\circ}$$

■ D.4.4. Tracé du nouveau repère



■ D.4.5. Équation de la droite dans le nouveau repère soit $t_f = g_2(\theta_f)$

La droite correspondant à la zone linéarisée a pour pente $-\frac{\Delta t_f}{\Delta \theta_f} = -\frac{20}{34} = -\frac{1}{1,7}$

La droite a donc pour équation $t_f = -\frac{1}{1,7} \theta_f$

■ D.4.6. Traduction de l'équation dans le domaine symbolique et fonction de transfert du bras de détection.

Dans le domaine symbolique de Laplace, cette équation devient $T_f(p) = -\frac{1}{1,7} \Theta_f(p)$

ou encore $\Theta_f(p) = -1,7 T_f(p)$

D'où la fonction de transfert :



■ **E.2. Existence d'un effort qui fait sortir le piston et pression nécessaire**

Isolons la tige du vérin et mettons en évidence

les forces dues aux pressions, selon l'axe \vec{x} .

Calculons la résultante de ces forces :

$$\begin{aligned} \vec{F}_p \cdot \vec{x} &= -p_{eff} S1 + p_{eff} S2 \\ &= -p_{eff} \frac{\pi (D^2 - d^2)}{4} + p_{eff} \frac{\pi D^2}{4} \end{aligned}$$

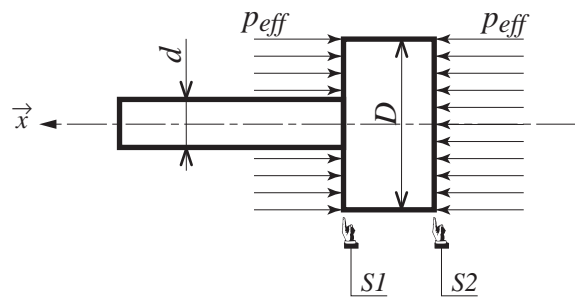
En définitive, on obtient $F_p = \frac{\pi d^2}{4} p_{eff}$

force de même sens que \vec{x} si $p_{eff} > p_{atm}$

Pour que $F_p = 200 \text{ N}$, il faut que :

$$p_{eff} = \frac{4 F_p}{\pi d^2} = \frac{4 \times 200}{\pi \times 0,008^2} \Rightarrow p_{eff} = 39,8 \cdot 10^5 \text{ Pa}$$

soit $p_{eff} = 39,8 \text{ bar}$

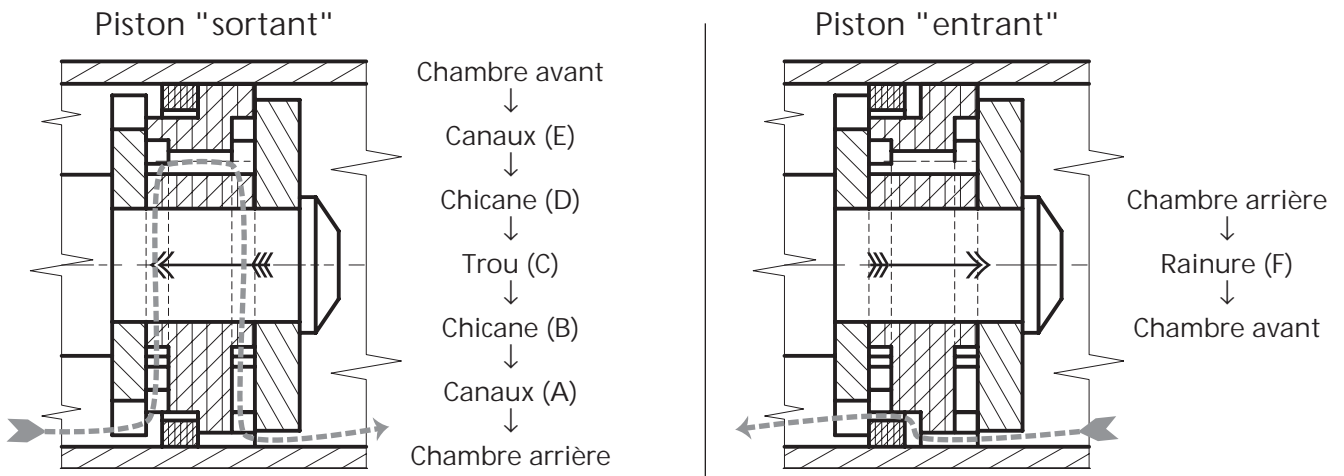


■ **E.3. Variation du volume et conséquences**

Le volume à l'avant du piston (côté tige) est amputé du volume de la tige, donc pour un déplacement donné du piston, le volume global à l'intérieur du vérin varie :

- si le piston sort, le volume global augmente, ce qui conduit, à température constante, à une diminution de la pression, donc de l'effort F_p exercé (F_p décroît) :
- si le piston rentre, le volume global diminue, ce qui conduit, à température constante, à une augmentation de la pression, donc de l'effort F_p exercé (F_p croît).

E.4. Circuit emprunté par le gaz lors de la sortie et de la rentrée du piston



REMARQUE – Les canaux (A) et (E) ont été ramenés dans le plan de coupe et les chicanes représentées en trait interrompu

Nom de la forme	Fonction assurée
Canaux radiaux (A) et (E)	Permettre le passage du gaz radialement vers les chicanes.
Chicanes (B) et (D)	Créer une perte de charge dans la circulation du gaz.
Trou débouchant (C)	Permettre la communication entre les deux chicanes.
Rainure (F)	Permettre le passage direct du gaz depuis la chambre arrière jusqu'à la chambre avant.

- Lorsque le piston sort, le clapet est fermé et le gaz doit emprunter les chicanes où il est freiné : la sortie a donc lieu à vitesse régulée et lente.
- Lorsque le piston entre, le clapet est ouvert et le gaz peut passer directement de la chambre arrière à la chambre avant en évitant les chicanes. Il peut donc circuler plus facilement : la rentrée a donc lieu à vitesse plus rapide.

■ **E.5. Ordre d'assemblage des pièces et des opérations à effectuer pour réaliser le montage du vérin**

- Opération 1** – Montage flottant des pièces 2, {3 ; 4}, 5, 6 et 7 dans cet ordre sur le cylindre de $\varnothing 8$ de la tige de piston 8.
- Opération 2** – Empilage des pièces 9, 10, 11, 12 dans cet ordre sur le cylindre de $\varnothing 5$ de la tige de piston 8.
- Opération 3** – Sertissage de l'extrémité de la tige de piston.
- Opération 4** – Montage du sous-ensemble piston dans le tube 1, en laissant les pièces flottantes 2 à 7 à l'extérieur du tube.
- Opération 4** – Galetage du tube.
- Opération 5** – Montage des pièces 2 à 7 à l'intérieur du tube jusqu'à ce que l'ensemble vienne en butée contre la colerette galetée.
- Opération 6** – Repoussage de l'extrémité du tube.

■ **E.6. Utilité du fluide hydraulique**

Le fluide hydraulique injecté dans le vérin a deux fonctions :

- lubrifier le vérin ;
- amortir le mouvement en fin de course de sortie du piston. En effet, lorsque tout le gaz situé à l'avant du piston est chassé vers l'arrière du piston, c'est ensuite au fluide de suivre le même chemin. Sa viscosité étant plus grande, l'écoulement est plus lent et le déplacement de la tige aussi. La condition à respecter est que le vérin soit utilisé sensiblement vertical avec la tige vers le bas.

■ **E.7. Schéma pneumatique équivalent**

